论著

1.5T盂唇放射状MRI扫 描对髋关节盂唇撕裂的 诊断价值

刘成环*

西宁市第一人民医院放射科 (青海西宁810000)

【摘要】目的 研究1.5T盂唇放射状MRI扫描对髋关 节盂唇撕裂的诊断价值。方法 选择2017年12月到 2019年12月30例髋关节盂唇撕裂患者作为研究对 象,均进行1.5T盂唇常规MRI扫描、放射状MRI扫 描,并以关节镜手术结果为"金标准",分析常 规MRI扫描、放射状MRI扫描在髋关节盂唇撕裂中 的敏感度、特异度、准确度、阳性预测值、阴性 预测值。结果 30 例患者中,常规MRI扫描评估显 示共有45处盂唇正常,42处盂唇撕裂,3处盂唇退 变;放射状MRI扫描评估显示共有49处盂唇正常, 40处盂唇撕裂,1处盂唇退变;关节镜手术结果显 示共有48处盂唇正常,41处盂唇撕裂,1处盂唇退 变。以关节镜手术结果为准,30例患者中共有41 处盂唇撕裂,常规MRI扫描的敏感度为70.45%、 特异度为78.26%、准确度为74.44%、阳性预测值 为75.61%、阴性预测值为73.47%; 放射状MRI扫 描的敏感度为95.00%、特异度为94.00%、准确度 为94.44%、阳性预测值为92.68%、阴性预测值为 95.92%。结论 1.5T盂唇放射状MRI扫描可显著提高 髋关节盂唇撕裂诊断的敏感度、特异度及准确度, 从而提高临床诊疗效率。

【关键词】放射状MRI扫描;髋关节;盂唇撕裂 【中图分类号】R684;R445.2 【文献标识码】A

DOI:10.3969/j.issn.1672-5131.2022.02.054

Diagnostic Value of 1.5T Glenoid Labrum Radial MRI Scan for Hip Glenoid Labrum Tear

LIU Cheng-huan*.

Department of Radiology, Xining First People's Hospital, Xining 810000, Qinghai Province, China

ABSTRACT

Objective Tostudy thediagnostic value of 1.5T glenoid labrum radial MRI scan for hip glenoid labrum tear. Methods Thirty patients with hip and glenoid labrum tearfrom December 2017 to December 2019 were selected as the research subjects, and all performed 1.5T glenoid labrum MRI scan and radial MRI scan. The arthroscopic results were used as the gold standard to analyze the sensitivity, specificity, accuracy, positive predictive value, and negative predictive value of conventional MRI scans and radial MRI scans in hip and glenoid labrum tear. Results Conventional MRI scan evaluation showedthata total of 45 glenoid labrums were normal, 42 glenoid labrums were torn, and 3 glenoid labrums were degeneratedofthe 30 patients. Radial MRI scan evaluation showed that 49 glenoid labrums were normal, 40 glenoid labrum labial tears, and 1 glenoidlabrumdegenerated. The results of arthroscopic surgery showedthat a total of 48 glenoidlabrums normal, 41 glenoidlabrum tears, and 1 glenoidlabrum degenerated.Based on the results of arthroscopic surgery, there were 41 glenoid labrum tears in 30 patients. The sensitivity of conventional MRI scans was 70.45%, specificity was 78.26%, accuracy was 74.44%, positive predictive value was 75.61%, negative forecast value is 73.47%. The sensitivity of the radial MRI scan was 95.00%, the specificity was 94.00%, the accuracy was 94.44%, the positive predictive value was 92.68%, and the negative predictive value was 95.92%. Conclusion The 1.5T glenoid labrum radial MRI scan can significantly improve the sensitivity, specificity and accuracy of the diagnosis of hip glenoid labrum tears, thereby improving the clinical diagnosis and treatment

Keywords: Radial MRI Scan; Hip Joint; Glenoid Labrum Tear

髋臼微骨折、髋关节过度屈曲或外展、关节囊松弛等均可引起盂唇撕裂,导致髋关节活动受限,引起关节内牵拉性疼痛和弹响、关节稳定性下降^[1]。关节镜下对撕裂的盂唇进行清理、修复,并恢复盂唇、髋臼、股骨头关节面及周围韧带的生理解剖结构,是防止盂唇大范围变性、提高髋关节功能的常用方式^[2]。但髋关节盂唇结构复杂,术前不易被常规方法诊断,许多患者因此未能及时治疗而出现髋关节的加速退变、软骨磨损等^[3]。MRI扫描可清晰的显示髋关节病变情况,但由于髋臼的生理性前倾,盂唇损伤常无法完全显示在MRI图像上,还会被误诊为滑膜炎或漏诊,为此有学者提出应进行MRI造影检查,增强盂唇显影^[4]。但MRI造影检查会增加关节感染风险,而1.5T放射状MRI扫描无需侵入性操作,就可较好地显示血管、体腔^[5]。为证实1.5T放射状MRI扫描在盂唇损伤中的诊断价值,减少误诊、漏诊,促进临床疗效,本文选取30例髋关节盂唇撕裂患者进行研究,现报到如下。

1 资料与方法

1.1 研究对象 选择2017年12月到2019年12月30例髋关节盂唇撕裂患者作为研究对象。其中男12例,女18例;年龄34~71岁,平均年龄(56.8±7.4)岁;合并髋臼微骨折9例、髋关节骨折12例、股骨髋臼撞击综合征8例,1例单纯盂唇撕裂。

纳入标准:经本院伦理委员会审核批准,患者均签署知情同意书;有完整的血生化、临床症状、常规MRI扫描等检查结果;经保守治疗无效,需进行关节镜手术者。排除标准:存在同侧髋关节手术史、股骨头手术史;髋臼发育不良、滑膜软骨瘤病、全层软骨缺损、急性髋关节创伤等;肝肾、心肺功能严重障碍或患有精神疾病、意识障碍者;体内有金属物品或妊娠、哺乳期女性。

1.2 检查方法 患者均使用MAGNETOM Amira1.5T超导型磁共振成像系统进行检

查,并选择体部表面线控阵线圈。患者采取头先进仰卧位,双 足内旋15°左右,定位中心对准线圈中心、髂前上棘和耻骨联 合中点下2.5cm水平位置,并用沙袋固定双足,以减少运动伪 影。患侧髋关节常规MRI扫描序列: (1)斜横断位: 平行于股骨 颈长轴进行扫描,采取脂肪饱和抑制快速自旋回波序列,扫描 参数: TR 3020ms, TE 37ms, 层厚3.0mm, 层间距1mm, 扫描视野(FOV)230mm×230mm, 矩阵320×320; (2)斜矢 状位: 平行干冠状位上和髋臼前后缘连续扫描, 采取脂肪饱和 抑制快速自旋回波序列,扫描参数: TR 3380ms, TE 38ms, 层厚3.0mm, 层间距1mm, FOV 230mm×230mm, 矩 阵256×256; (3)斜冠状位: 从斜横断位扫描方位垂直于髋 臼前后的连线扫描,采取快速自旋回波序列,扫描参数: TR 3000ms, TE 104ms, 层厚3.0mm, 层间距1mm, FOV 230mm×230mm,矩阵280×280。在已获得的斜横断位、 斜矢状位、斜冠状位的图像上进行垂直干盂唇周的360°盂唇放 射状MRI扫描,扫描12层,每层间隔15°,最后分析各区域盂 唇结构图像。

1.3 分析方法 先将患侧髋关节盂唇按顺时针方向等分为前方、外上方、后方、外下方四个区域,其中外下方为髋臼横韧带附着,无盂唇覆盖,不纳入统计范围;再比较常规MRI扫描、放射状MRI扫描、关节镜手术对患侧髋关节盂唇撕裂的评估结果。常规MRI扫描、放射状MRI扫描图像由两位放射科工

作经验10年以上的医师进行分析,关节镜手术结果由一位主 刀的手术医师进行分析。

1.4 盂唇撕裂判断标准^[6] 根据MRI扫描图像进行髋关节盂唇 损伤判断,正常盂唇为附着于髋臼缘的均匀三角低信号;盂唇 撕裂时表现为盂唇实质内或底部高信号且到达关节面、关节 囊,或盂唇形态不规则且信号增高;盂唇退变表现为盂唇内局 限性稍高信号,不涉及关节面、关节囊。

1.5 统计学分析 以EpiData 3.1软件校正所有数据,采用 SPSS 22.0统计学软件处理;以 "n(%)" 形式录入计数资料,并以 x^2 检验;以关节镜手术结果为 "金标准",分析常规MRI 扫描、放射状MRI扫描在髋关节盂唇撕裂中的敏感度、特异度、准确度、阳性预测值、阴性预测值;检验水准: P<0.05示数据比较结果差异有统计学意义。

2 结 果

2.1 常规MRI扫描、放射状MRI扫描、关节镜手术对髋关节 盂唇损伤的评估 30例患者中,常规MRI扫描评估显示共有45 处盂唇正常,42处盂唇撕裂,3处盂唇退变;放射状MRI扫描评估显示共有49处盂唇正常,40处盂唇撕裂,1处盂唇退变;关节镜手术结果显示共有48处盂唇正常,41处盂唇撕裂,1处盂唇退变,见表1。

农I 吊戏MKI扫描、放射仅MKI扫描、大节镜于不对视大节监督规切的评估(例)											
方法		关节镜手术盂唇前方			关节镜手术盂唇外上方			关节镜手术盂唇后方			——— 合计
刀压		正常	撕裂	退变	正常	撕裂	退变	正常	撕裂	退变	ロИ
常规MRI扫描	正常	9	4	0	12	3	0	14	3	0	45
	撕裂	3	13	0	4	10	0	4	8	0	42
	退变	0	0	1	1	0	0	1	0	0	3
	合计	12	17	1	17	13	0	19	11	0	90
放射状MRI扫描	正常	11	1	0	17	1	0	18	1	0	49
	撕裂	1	16	0	0	12	0	1	10	0	40
	退变	0	0	1	0	0	0	0	0	0	1
	合计	12	17	1	17	13	0	19	11	0	90

表1 常规MRI扫描、放射状MRI扫描、关节镜手术对髋关节盂唇损伤的评估(例)

2.2 常规MRI扫描、放射状MRI扫描对盂唇撕裂的评估 以关节镜手术结果为准,30例患者中共有41处盂唇撕裂,常规MRI扫描的敏感度为70.45%(31/44)、特异度为78.26%(36/46)、准确度为74.44%(67/90)、阳性预测值为75.61%(31/41)、阴性预测值为73.47%(36/49); 放射状MRI扫描敏感度为95.00%(38/40)、特异度为94.00%(47/50)、准确度为94.44%[(38+47)/90]、阳性预测值为92.68%(38/41)、阴性预测值为95.92%(47/49),见表2。

2.3 典型病例分析 典型病例影像分析结果见图1~6。

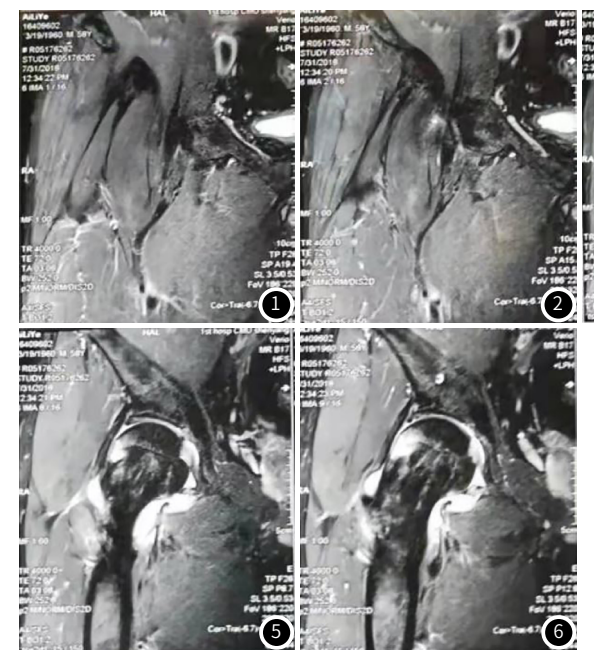
3 讨 论

髋关节盂唇撕裂通常与髋关节其他类型的损伤一并发生, 在进展过程中可逐渐加重骨性关节炎或髋关节周围肌肉劳损, 导致关节僵硬,严重影响下肢运动^[7]。临床研究证实,CT与X

表2 常规MRI扫描、放射状MRI扫描对盂唇撕裂的评估(例)

方法		关节镜手术				
/J/A		盂唇撕裂	正常或退变			
常规MRI扫描	盂唇撕裂	31	10			
	正常或退变	13	36			
放射状MRI扫描	盂唇撕裂	38	3			
	正常或退变	2	47			

线对盂唇损伤的诊断价值不大,而常规MRI扫描虽能有效显示和区分脂肪、骨性、血管组织,但空间分辨率相对不足,在扫描过程中易形成伪影^[8]。本研究的关节镜手术结果显示,41处盂唇撕裂多发生在盂唇前方和外上方,这是因为前方与外上方盂唇在维持髋关节运动、稳定性时的负压相对较大,当负压机制失衡时,就易从基底部发生撕裂^[9]。常规MRI扫描的敏





患者,女,43岁,因跌倒后髋关节活动受限、疼痛就诊,临床诊断髋关节盂唇撕裂。图1~3 盂唇放射状MRI扫描图像,可见盂唇前方撕裂。图4~6 盂唇常规MRI扫描图像,未见盂唇撕裂。

感度为70.45%、特异度为78.26%、准确度为74.44%,相比李静等^[10]研究中常规MRI敏感度37.2%、特异度86.9%、准确度54.5%,二者的敏感度、准确度均有较大差异。这分析与常规MRI技术在评估盂唇撕裂方面易受髋臼结构形态影响有关。同时,MRI检查的时间相对较长,若患者配合不佳,也可影响MRI扫描对组织病变的显示,从而降低临床诊断的准确性,导致患者错过最佳治疗时机^[11]。放射状MRI扫描的敏感度、特异度、准确度、阳性预测值、阴性预测值均达到90%以上。

放射状MRI扫描可弥补常规MRI扫描的不足,为明确病 变组织的性质提供更为丰富、准确的影像,促进临床对髋关 节盂唇撕裂及相关病变的早期诊断[12]。但也有不同的研究认 为3.0T放射状MRI的分辨率比1.5T放射状MRI的分辨率更高, 或可在关节软骨、关节内外韧带的病变中获得更高的诊断价 值[13]。此外,随着髋关节骨折、股骨头坏死等发生率逐年增 长,盂唇损伤亦呈多样性,1.5T放射状MRI是否能精确诊断盂 唇撕裂的程度、范围,预测盂唇修复或切除后的效果,都需进 一步研究。无法精确区分髋关节盂唇下沟和盂唇撕裂,是常规 MRI误诊的重要原因,这是因为盂唇下沟为髋臼和盂唇基底部 间自然分离的线样裂隙,在影像上的表现与盂唇撕裂十分相 似,尤其是当撕裂发生于盂唇下沟附近时,其更易被认为是盂 唇撕裂的一部分[14-15]。对此,可通过以下几点辨别[16]: (1)髋 关节盂唇撕裂常会出现盂唇旁囊肿、盂唇实质内的高信号,有 时可伴股骨头颈交界处骨髓水肿或骨性突起; (2)盂唇撕裂的 形态多不规则,可累及关节面及关节囊面;(3)正常盂唇的边 缘光滑, 盂唇旁隐窝显示清晰。

综上所述,1.5T盂唇放射状MRI扫描对髋关节盂唇撕裂有较高的敏感度、特异度、准确度,可作为髋关节盂唇损伤及相关病变的诊断手段在临床中广泛使用,但本研究数例较少,且将关节镜手术结果作为判断是否存在盂唇撕裂的"金标准",还存在一定的主观性。因此,在今后的临床中,还需扩大样本数量,对比不同分辨率、扫描参数的影像学手段,注意区分关节囊、髋关节盂唇轮廓,以不断提高放射状MRI的价值。

参考文献

- [1]刘玲玲, 高月, 李琦, 等. 发育性髋关节发育不良磁共振检查的研究进展 [J]. 中国临床医学影像杂志, 2017, 28 (12): 893-896.
- [2] 黄承, 陆志剀, 王飞, 等. 髋关节镜治疗运动员髋关节损伤的疗效分析 [J]. 中国骨与关节损伤杂志, 2019, 34(4): 337-340.
- [3] 康锦, 马林, 郑铁钢, 等. 髋臼后壁粉碎性骨折合并髋关节后脱位的整体 修复及微型螺钉的应用[J]. 中华创伤骨科杂志, 2018, 20(3): 187-192.
- [4] 高冠英, 徐雁. 超声在髋关节撞击综合征及髋关节盂唇撕裂诊疗中的应用研究进展[J]. 中国运动医学杂志, 2018, 37 (11): 951-955.
- [5] 苏眺, 陈光兴, 李静, 等. 关节镜下髋臼盂唇清理及髋臼缘微骨折治疗不可修复性盂唇损伤的临床疗效观察[J]. 第三军医大学学报, 2019, 41(6): 600-607.
- [6] 钟名金, 丘志河, 梁达强, 等. 人体髋臼盂唇的形态结构特点及其临床意义[J]. 中国临床解剖学杂志, 2018, 36 (5): 486-491.
- [7] 傅丽晖, 张瑾, 梁良. 磁共振动态增强技术判断强直性脊柱炎髋关节病变活动性的应用价值[J]. 中华风湿病学杂志, 2018, 22(7): 459-463.
- [8] 黄海峰, 杨先腾, 田家亮, 等. 髋关节镜手术并发症的研究进展[J]. 中华创伤杂志, 2018, 34(7): 655-662.
- [9]刘佩佩,张翠平,崔立刚,等.超声引导下髋关节腔内药物注射对盂唇源性髋部疼痛的诊断价值[J].中国运动医学杂志,2019,38(4):263-266.
- [10] 李静, 杜明珊, 侯文静, 等. 髋关节盂唇撕裂的1. 5T常规MRI与放射状MRI 对比分析[J]. 第三军医大学学报, 2019, 41 (10): 991-995.
- [11] 陈哲峰, 王瑞, 刘锋. 关节囊修补对股骨髋臼撞击综合征关节镜手术疗效的影响[J]. 中华骨科杂志, 2019, 39 (11): 691-698.
- [12] 田春艳, 袁慧书, 王健全. 髋关节盂唇撕裂的3.0T髋关节MR造影与常规MRI对比研究[J]. 影像诊断与介入放射学, 2017, 26(1):42-46.
- [13] 杨勇,刘新献,黄穗,等.双侧对比下髋关节腔造影在儿童发育性髋关节发育不良复位术中的临床价值[J].临床放射学杂志,2018,37(10):1716-1719.
- [14] 贾国强, 王恩波, Kamara Allieu, 等. 发育性髋关节脱位闭合复位新判定方法的初步探讨[J]. 中华小儿外科杂志, 2018, 39(3):178-182.
- [15] 李旭, 张晋, 王雪松. 髋关节镜下骨赘切除联合盂唇修补治疗合并髋 臼股骨撞击症的盂唇损伤的中长期随访结果[J]. 中国运动医学杂志, 2018. 37(10): 817-820.
- [16] 姚艳, 游玉峰. 股骨头缺血性坏死磁共振成像双线征表现与化学位移伪影的相关性[J]. 中国医药, 2017, 12(12): 1885-1888.

(收稿日期: 2020-02-05)